## 気象研究所技術報告 第25号 1989

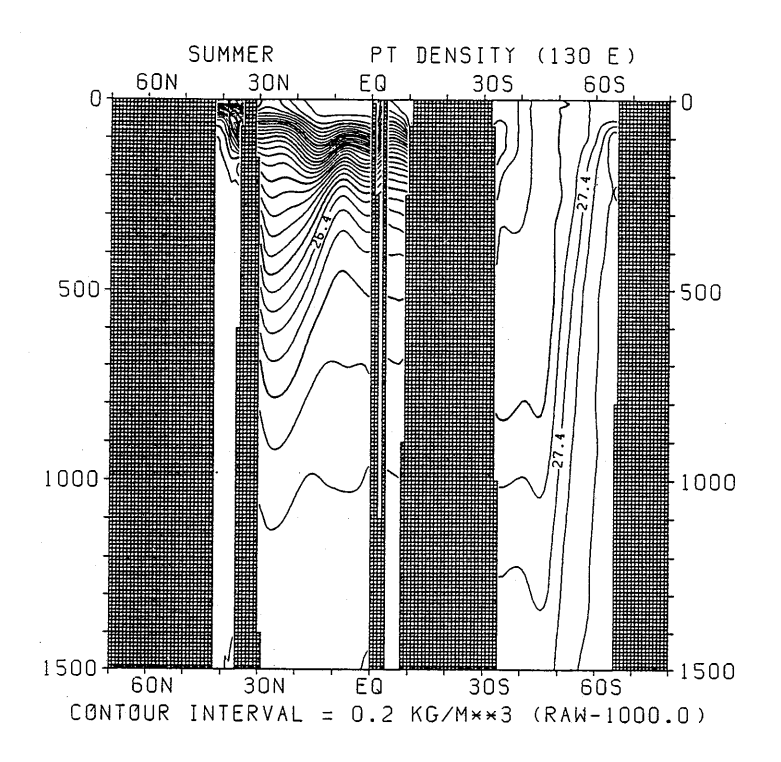


図 3.3.33 夏季におけるポテンシャル密度の南北断面分布 (130°E)

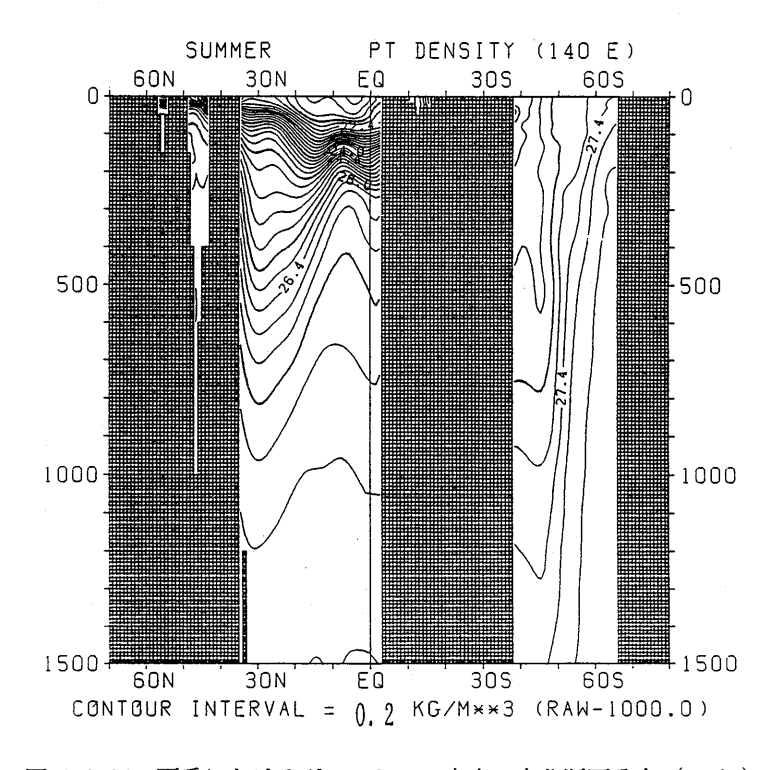


図 3.3.34 夏季におけるポテンシャル密度の南北断面分布 (140°E)

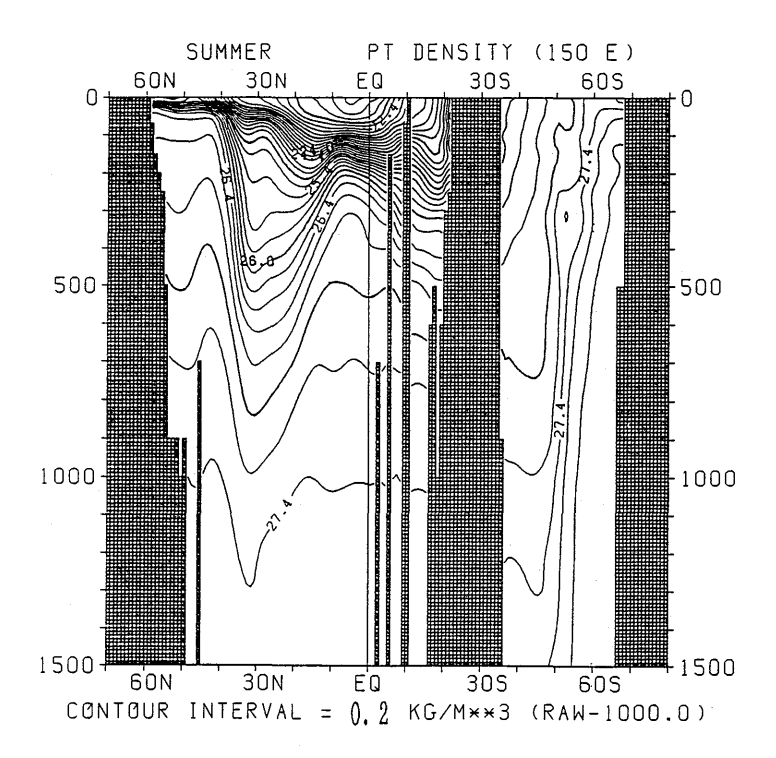


図 3.3.35 夏季におけるポテンシャル密度の南北断面分布 (150°E)

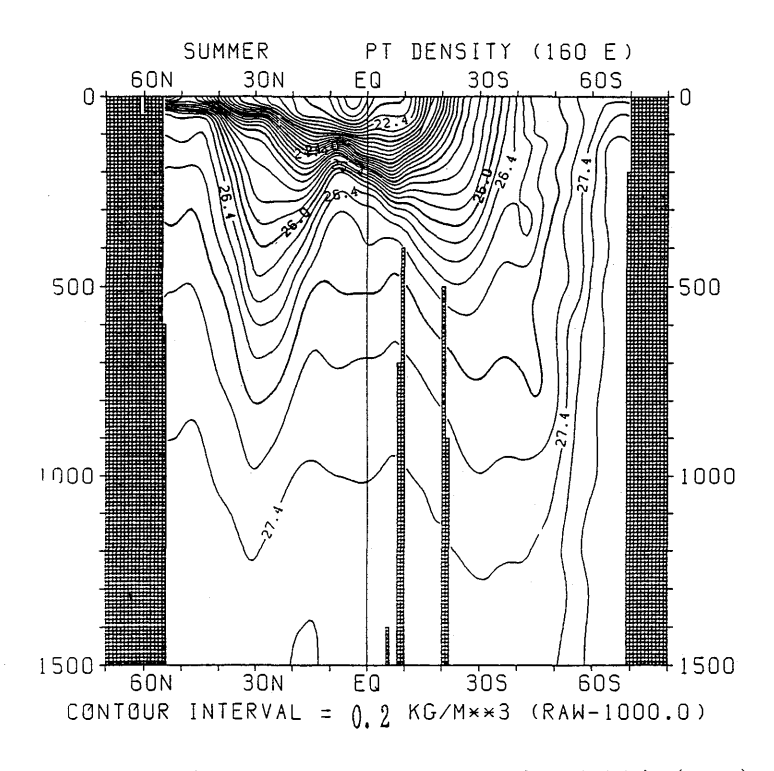


図 3.3.36 夏季におけるポテンシャル密度の南北断面分布 (160°E)

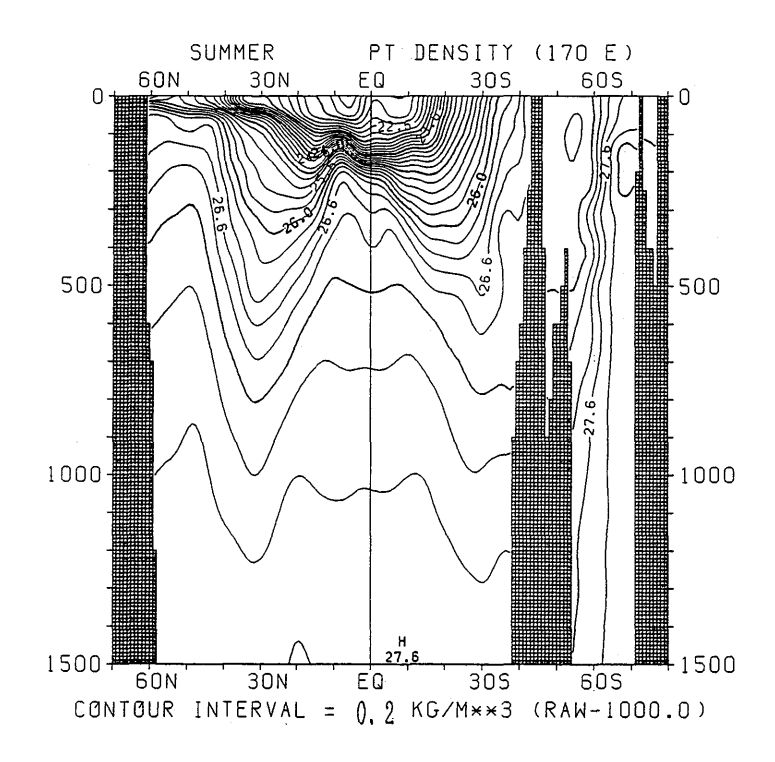


図 3.3.37 夏季におけるポテンシャル密度の南北断面分布 (170°E)

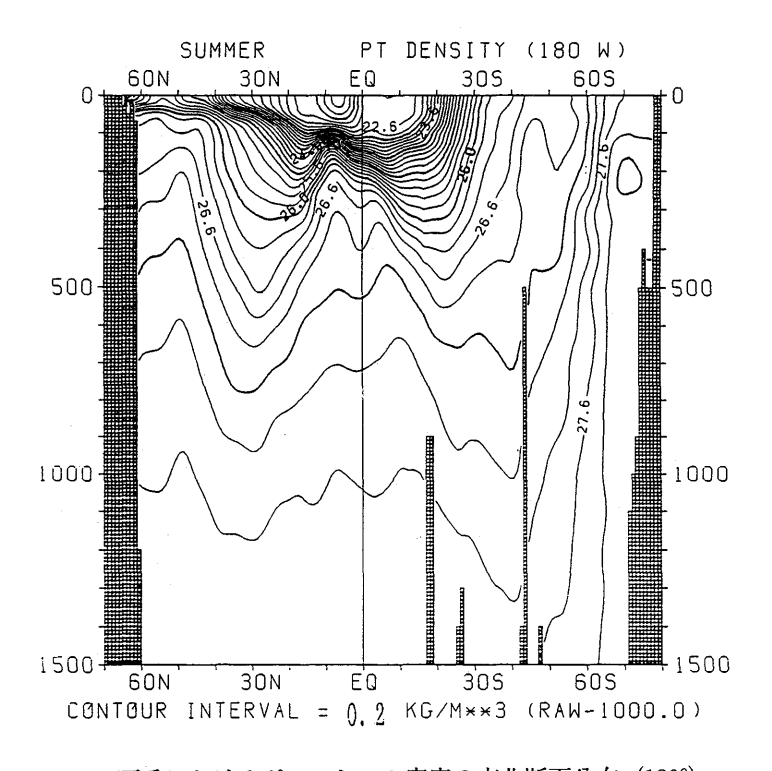


図 3.3.38 夏季におけるポテンシャル密度の南北断面分布 (180°)

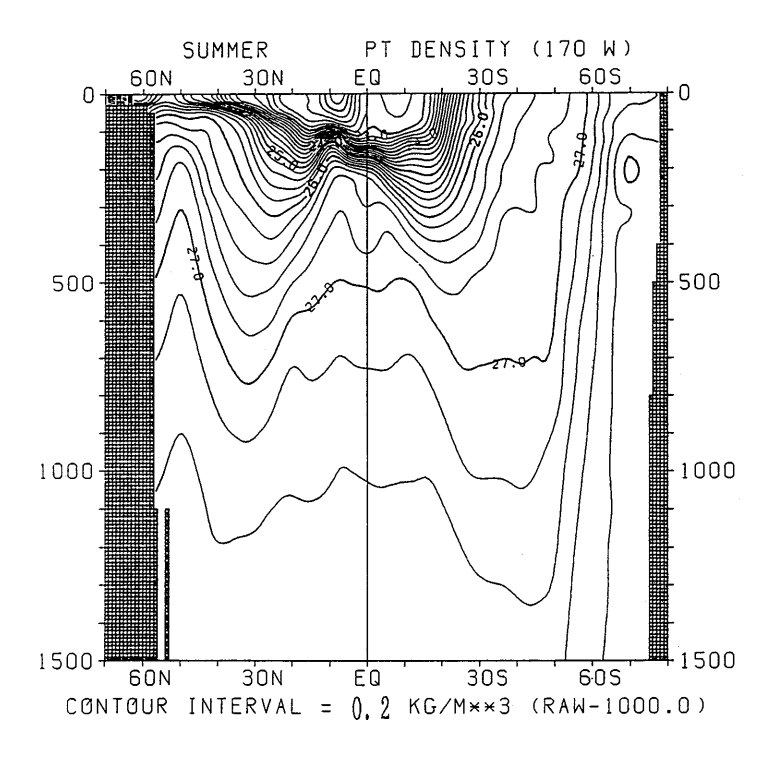


図 3.3.39 夏季におけるポテンシャル密度の南北断面分布 (170°W)

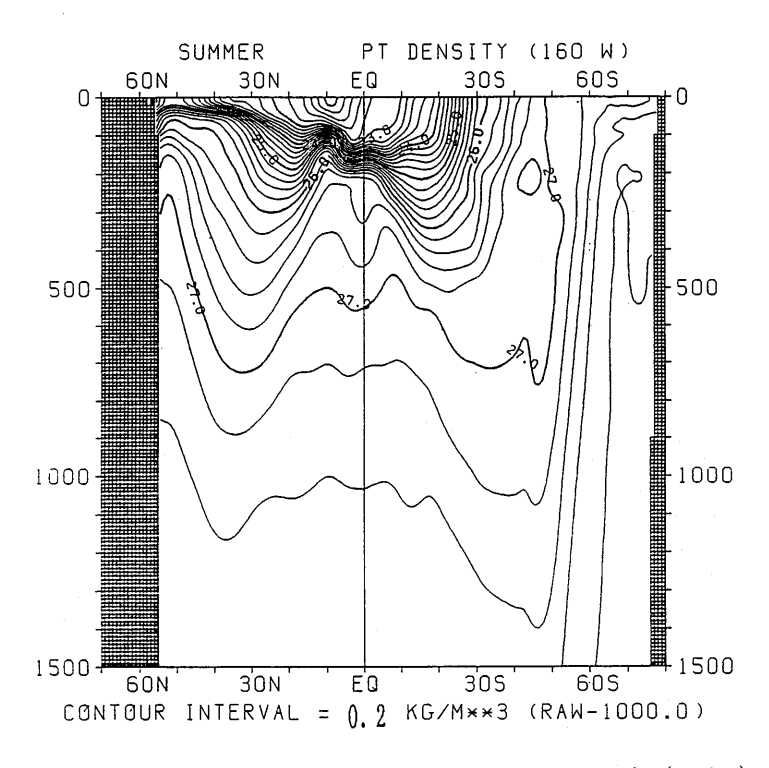


図 3.3.40 夏季におけるポテンシャル密度の南北断面分布 (160°W)

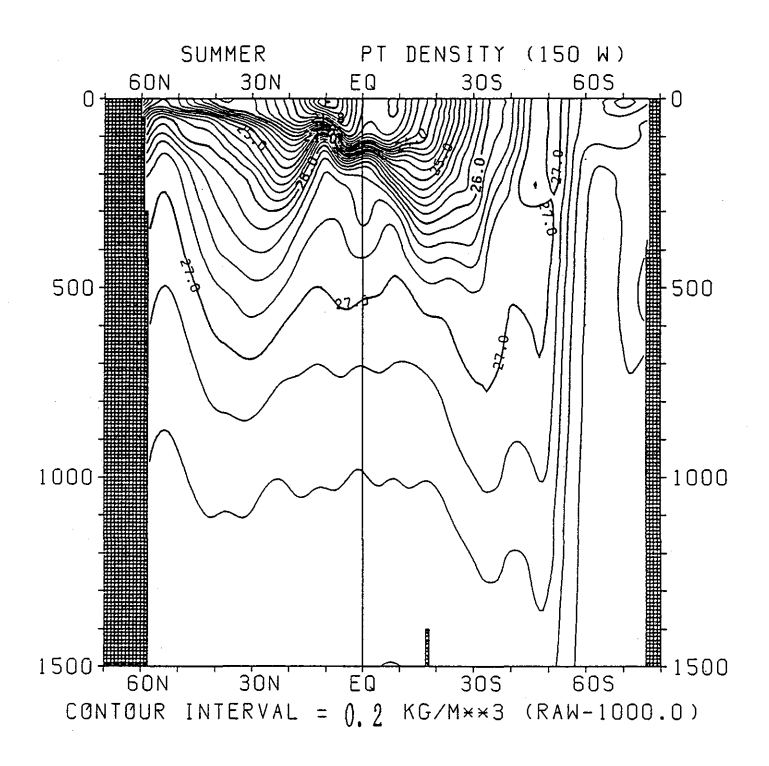


図 3.3.41 夏季におけるポテンシャル密度の南北断面分布 (150°W)

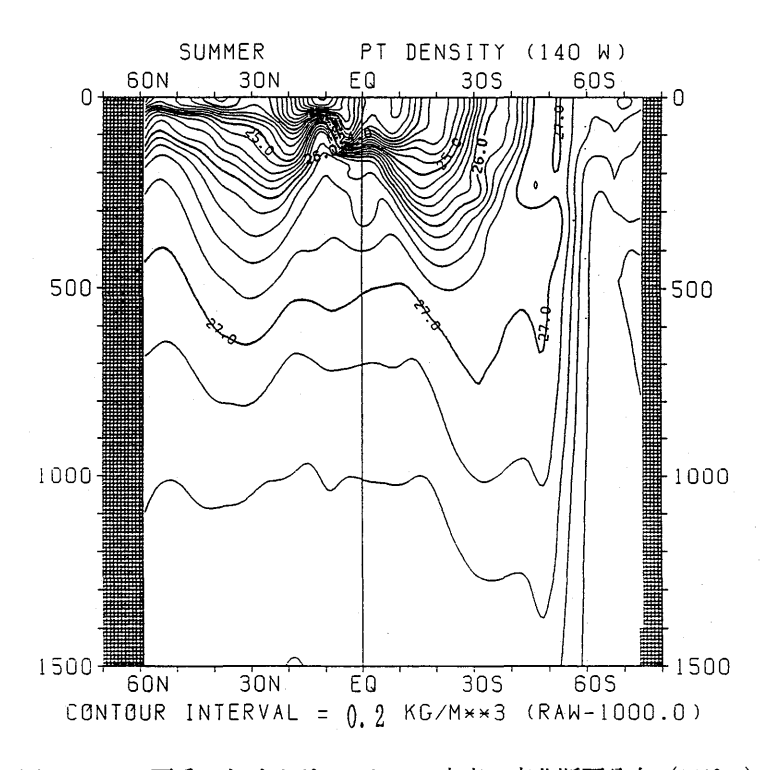


図 3.3.42 夏季におけるポテンシャル密度の南北断面分布 (140°W)

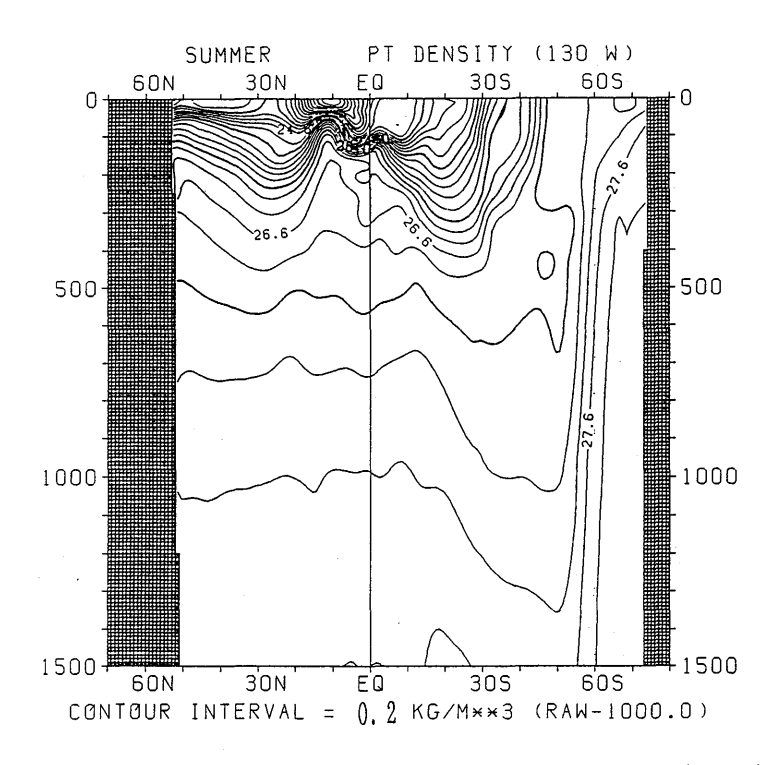


図 3.3.43 夏季におけるポテンシャル密度の南北断面分布 (130°W)

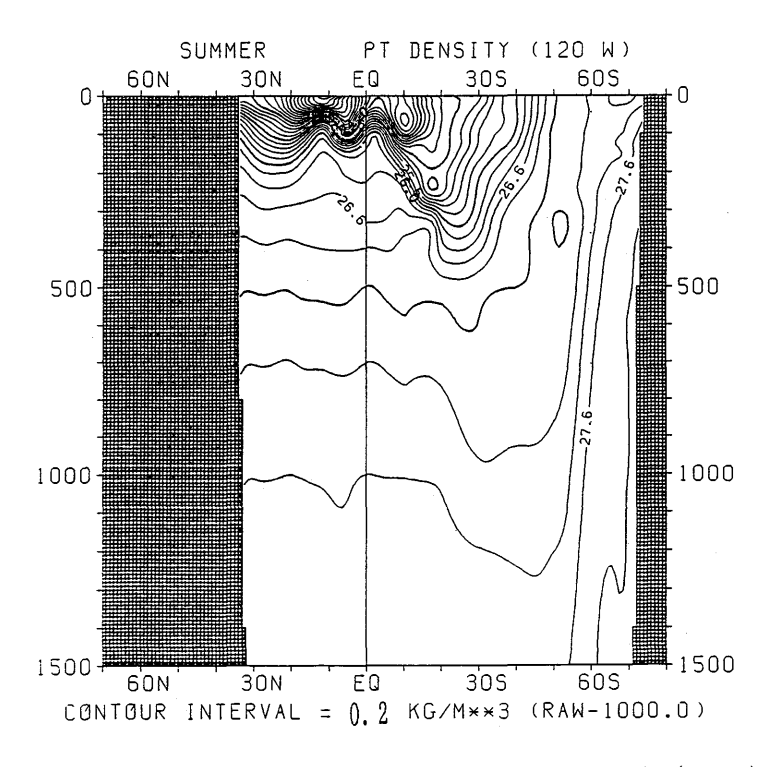


図 3.3.44 夏季におけるポテンシャル密度の南北断面分布 (120°W)

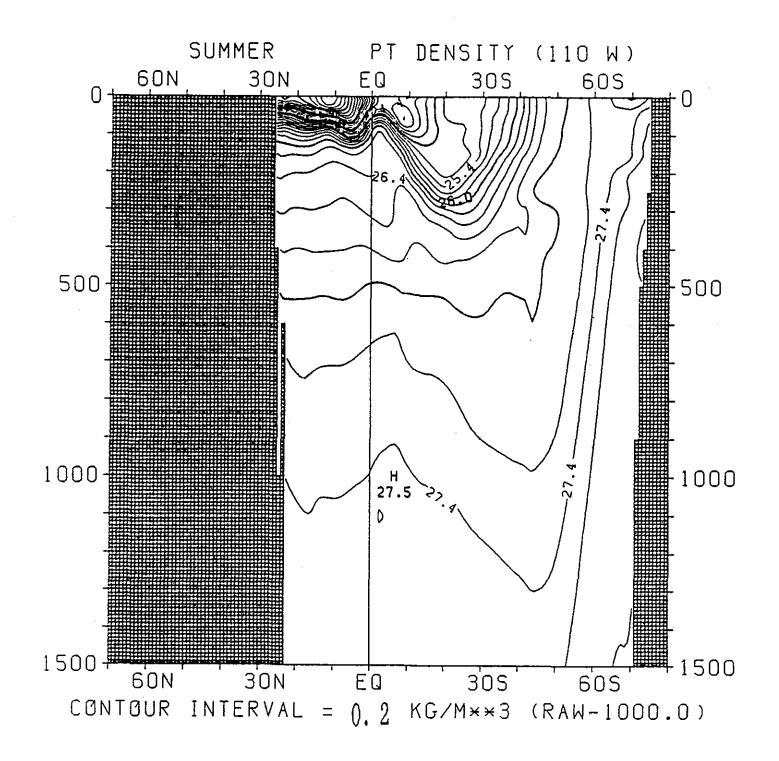


図 3.3.45 夏季におけるポテンシャル密度の南北断面分布 (110°W)

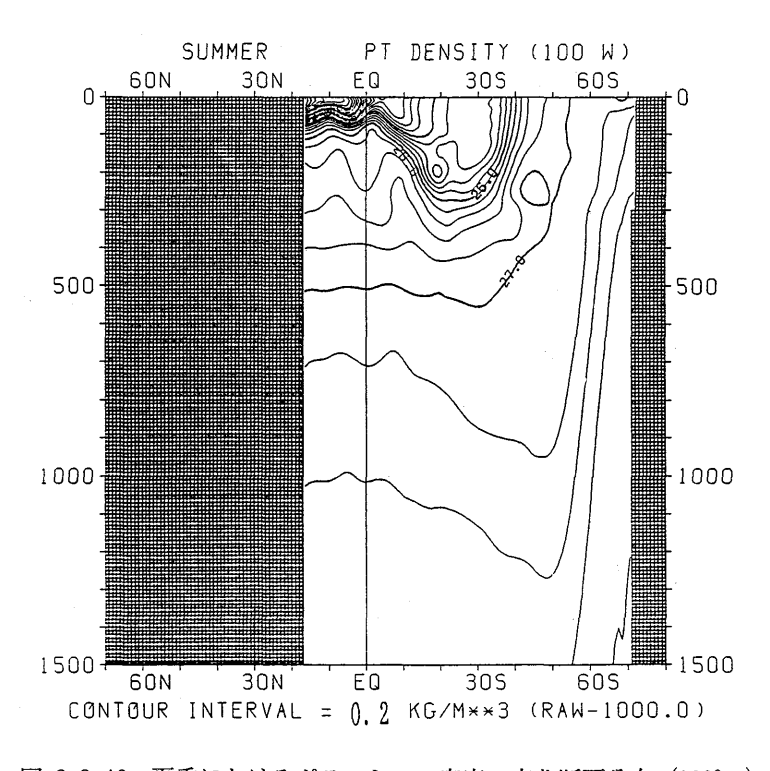


図 3.3.46 夏季におけるポテンシャル密度の南北断面分布 (100°W)

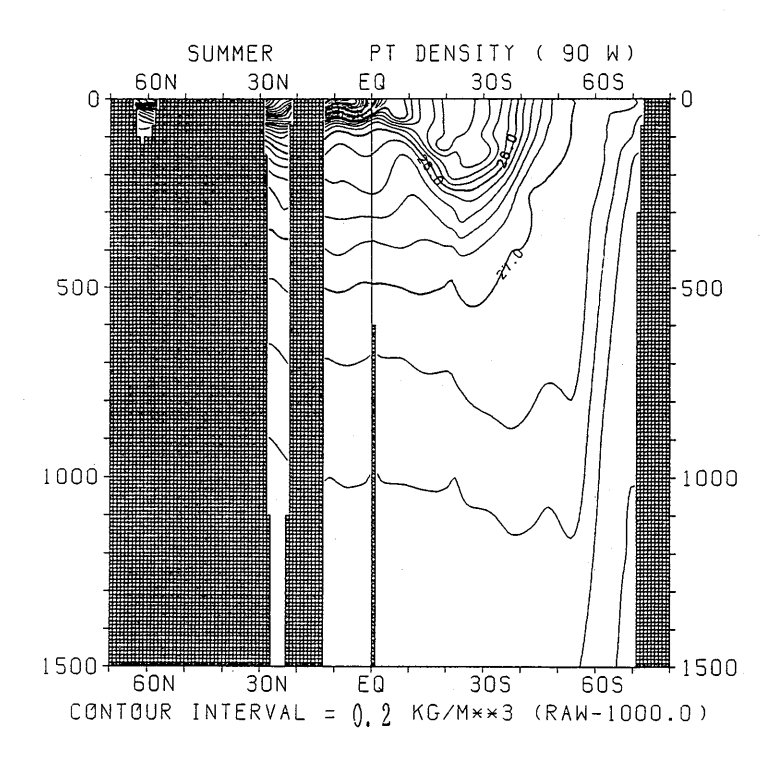


図 3.3.47 夏季におけるポテンシャル密度の南北断面分布 (90°W)

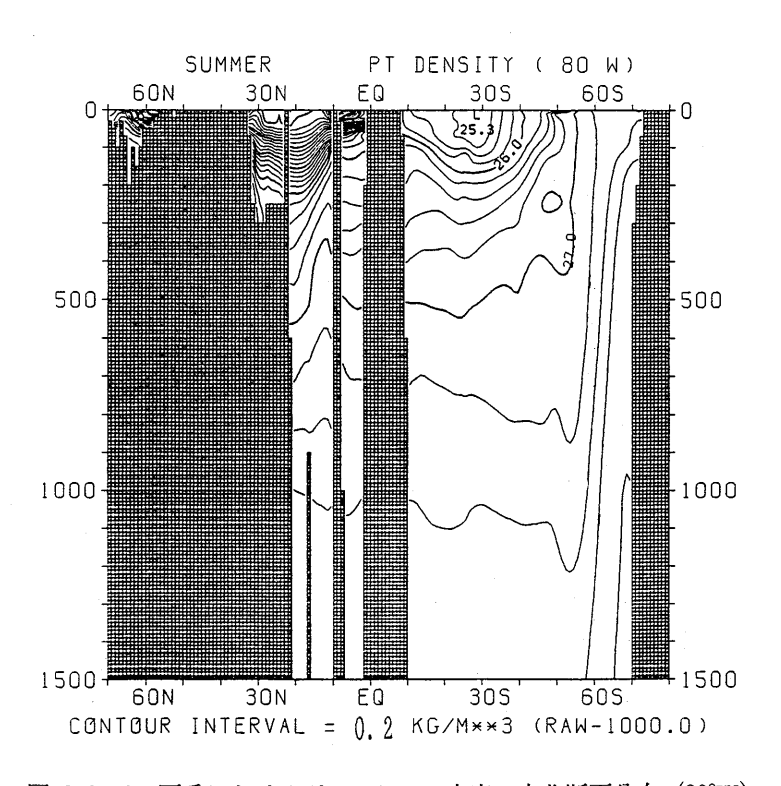


図 3.3.48 夏季におけるポテンシャル密度の南北断面分布 (80°W)